

## نمودار کنترل ناپارامتری چندمتغیره من-ویتی

فائقه امیری<sup>۱</sup> و منوچهر خردمندنیا<sup>۲</sup>

چکیده:

بسیاری از نمودارهای کنترل چندمتغیره بر اساس فرض نرمال چندمتغیره استوار هستند. اما واقعیت این است که چنین اطلاعاتی به ندرت وجود دارد و در عمل ممکن است که فرض‌های توزیعی، به طور دقیق برقرار نباشند. در چنین شرایطی، عملکرد نمودار کنترل پارامتری ضعیف و غیرقابل اطمینان است. برای غلبه بر این موضوع، نمودارهای کنترل ناپارامتری یا توزیع آزاد پیشنهاد می‌شود. در این مقاله، بر اساس آزمون چندمتغیره دو نمونه‌ای من-ویتی، یک نمودار کنترل چندمتغیره ناپارامتری معرفی نموده عملکرد آن را با نمودار سنتی  $T^2$  هتلینگ بر اساس داده‌های شبیه‌سازی شده مقایسه می‌کنیم و نشان می‌دهیم موقعیت‌هایی وجود دارد که در آن نمودار کنترل ناپارامتری چندمتغیره من-ویتی دارای عملکرد بهتری در مقایسه با نمودار کنترل  $T^2$  هتلینگ است.

**واژه‌های کلیدی:** آزمون مکان چندمتغیره، کنترل فرآیند چندمتغیره، نمودار کنترل  $T^2$  هتلینگ.

شده است.

### ۱ مقدمه

یکی از مهمترین ابزارهای کنترل فرآیند آماری، نمودار کنترل است. در نمودار کنترل اگر مقادیر آماره رسم شده داخل حدود کنترل قرار گیرد فرآیند تحت کنترل و در غیر این صورت فرآیند خارج از کنترل تلقی می‌شود. از این رو بر پایه مقدار آماره و ناحیه تصمیم، یک قاعده تصمیم‌گیری رد یا قبول وجود دارد که این ساختار بسیار شبیه ساختار آزمون فرض آماری است. در برخی مواقع لازم است که دو یا چند متغیر همبسته توأمآ بررسی شوند. کنترل این متغیرها به طور مستقل از یکدیگر می‌تواند گمراه کننده باشد. در این مواقع روش‌های متعددی برای کنترل کیفیت وجود دارد که مبحث کنترل کیفیت چندمتغیره را تشکیل می‌دهند. از جمله مزایای نمودار کنترل ناپارامتری می‌توان به سادگی، عدم نیاز به فرض توزیع پارامتری خاص و کارایی بیشتر در کشف تغییرات، هنگامی که توزیع واقعی به طور محسوسی غیرنرمال است، اشاره کرد.

در متون کنترل فرآیند آماری چندین نمودار کنترل ناپارامتری یک و چندمتغیره معرفی شده است. یک مطالعه مروری راجع به نمودارهای یک‌متغیره توسط چاکرابورتی و همکاران [۴] و در سال‌های اخیر توسط چاکرابورتی و گراهام [۳] ارائه شده است. در حالت چندمتغیره نیز تاکنون چند نمودار کنترل ناپارامتری معرفی

<sup>۱</sup> دانشجوی کارشناسی ارشد آمار دانشگاه اصفهان

<sup>۲</sup> استادیار گروه آمار دانشگاه اصفهان

می‌تواند مقدمه‌ای برای معرفی نمودار کنترل چندمتغیره من-ویتنی در بخش ۴ باشد. در بخش ۵ نیز یک مثال شبیه‌سازی ارائه شده و در نهایت دو نمودار با استفاده از داده‌های شبیه‌سازی شده مورد مقایسه قرار گرفته‌اند.

### ۳ آزمون چندمتغیره من-ویتنی

آزمون چندمتغیره من-ویتنی<sup>۳</sup>، یک آزمون ناپارامتری دو نمونه‌ای می‌باشد که توسط هتمنزبرگر [۵] معرفی شده است. در این بخش به طور اجمالی این آزمون را معرفی می‌کنیم. بردار مکان می‌تواند بردار میانگین‌ها یا میانه‌ها باشد. بنابراین آزمون زیر مورد نظر است:

$$\begin{cases} H_0: \theta_1 = \theta_2 \\ H_1: \theta_1 \neq \theta_2 \end{cases}$$

که در آن  $\theta_1$  و  $\theta_2$  به ترتیب بردار مکان جامعه اول و دوم هستند. آماره این آزمون به صورت زیر است:

$$MW^2 = \underline{W}^T V^{-1} \underline{W}, \quad (2)$$

که در آن  $\underline{W} = (W_1, W_2, \dots, W_p)^T$  یک بردار  $p \times 1$  است و -  
 آماره مولفه آن، آماره من-ویتنی یک متغیره مرسوم است که مرکزی شده است. به عبارت دیگر:

$$W_i = \sum_{r=1}^{n_1} R_{ri} - \frac{n_1(N+1)}{2}, \quad i = 1, \dots, p \quad (3)$$

که  $n_1$  و  $n_2$  به ترتیب اندازه نمونه اول و دوم،  $N = n_1 + n_2$  و  $\sum_{r=1}^{n_1} R_{ri}$  مجموع رتبه‌های مشاهدات نمونه اول است زمانی که با مشاهدات نمونه دوم ادغام و رتبه‌بندی شده است. مقصود از مرکزی شده این است که آماره مرسوم من-ویتنی طوری تعدیل شده که امید ریاضی آن صفر است، یعنی داریم  $E(W_i) = 0$ .  
 برای آشنایی با آزمون یک متغیره من-ویتنی به عنوان مثال به بهبودیان [۱] مراجعه کنید.

ماتریس  $V$  یک ماتریس  $p \times p$  متقارن است که درایه‌های قطری آن در صورتی که گره وجود نداشته باشد برابر  $\frac{n_1 n_2 (N+1)}{12}$  و درایه‌های غیرقطری آن به صورت زیر است:

$$V_{jk} = \left( \frac{n_1 n_2}{N(N-1)} \right) \times \left( \sum_{r=1}^N R_{rj} R_{rk} - \frac{1}{4} N(N+1)^2 \right). \quad (4)$$

با فرض پیوسته بودن متغیر مورد بررسی گره وجود نخواهد داشت. البته در عمل ممکن است مشاهدات گرد شده و صفرهایی ظاهر

### ۲ نمودار $T^2$ هتلینگ

نمودار کنترل  $T^2$  هتلینگ رایج‌ترین نمودار کنترل کیفیت برای کنترل بردار میانگین در حالتی است که بردار میانگین و ماتریس کوواریانس فرآیند چندمتغیره آماری نامعلوم هستند. برای آشنایی بیشتر با این نمودار به مونگمری [۶] مراجعه کنید.

فرض کنید  $\underline{X} = (X_1, X_2, \dots, X_p)^T$  برداری از  $p$  مشخصه کیفیت است که در شرایط کنترل دارای توزیع  $N_p(\underline{\mu}, \Sigma)$  می‌باشد که در آن  $\underline{\mu}$ ،  $\Sigma$  نامعلوم هستند. همچنین فرض کنید:

$$\bar{\underline{X}} = n_1^{-1} \sum_{r=1}^{n_1} \underline{X}_r,$$

$$S = (n_1 - 1)^{-1} \sum_{r=1}^{n_1} (\underline{X}_r - \bar{\underline{X}})(\underline{X}_r - \bar{\underline{X}})^T.$$

به ترتیب بردار میانگین و ماتریس کوواریانس یک نمونه تصادفی  $n_1$  تایی در شرایط کنترل در فاز اول هستند. واضح است که  $\bar{\underline{X}}$  و  $S$  به ترتیب برآوردهای ناریب برای  $\underline{\mu}$  و  $\Sigma$  است. اکنون فرض کنید  $\bar{\underline{Y}}_t$  بردار میانگین  $t$ -امین نمونه  $n_2$  تایی از زمان شروع پیگیری کنترل آماری فرآیند است. به عبارت دیگر  $\bar{\underline{Y}}_t$  مربوط به فاز دوم است و لذا مستقل از  $\bar{\underline{X}}$  و  $S$  است. با توجه به تعریف متغیر تصادفی  $T^2$  هتلینگ و رابطه آن با  $F$  به سهولت می‌توان نشان داد که متغیر تصادفی زیر دارای توزیع  $T^2$  هتلینگ و با افزودن ضریبی دارای توزیع  $F$  است:

$$\begin{aligned} T_t^2 &= \frac{n_1 n_2}{n_1 + n_2} (\bar{\underline{Y}}_t - \bar{\underline{X}})^T S^{-1} (\bar{\underline{Y}}_t - \bar{\underline{X}}) \\ &\sim \frac{p(n_1 - 1)}{n_1 - p} F_{p, n_1 - p}. \end{aligned}$$

اگر از این آماره کنترل استفاده شود حد بالای کنترل به صورت زیر است:

$$UCL = \frac{p(n_1 - 1)}{n_1 - p} F_{\alpha, p, n_1 - p}, \quad (1)$$

<sup>۳</sup>Multivariate Mann Whitney test



در شرایط خارج از کنترل با پارامترهای زیر تولید کردیم.  $(\Sigma_{in}$  و  $\mu_{in}$ ) تولید کردیم ولی 10 نمونه 30 تایی دوم از فاز دوم را به این ترتیب  $W_1 = (-37 \ 8 \ 2.5)^T$  و ماتریس  $V_1$  به صورت زیر است:

$$V_1 = \begin{bmatrix} 1025 & -486.9 & -221.8 \\ -486.9 & 1025 & -511.4 \\ -221.8 & -511.4 & 1024.9 \end{bmatrix}, \quad \mu_{out} = \begin{bmatrix} 1 \\ 6 \\ 10 \end{bmatrix}, \quad \Sigma_{out} = \Sigma_{in}.$$

لذا آماره من-ویتنی متناظر با نمونه اول فاز دوم برابر

$$MW_1^2 = (-37 \ 8 \ 2.5) \times \begin{bmatrix} 1025 & -486.9 & -221.8 \\ -486.9 & 1025 & -511.4 \\ -221.8 & -511.4 & 1024.9 \end{bmatrix}^{-1} \begin{pmatrix} -37 \\ 8 \\ 2.5 \end{pmatrix} = 1.7880$$

است. بر اساس داده‌های تولید شده بردار میانگین اولین نمونه در فاز دوم برابر:

$$\bar{Y}_1 = (1.0867 \ 4.93115 \ 9.11533)^T,$$

است و در نتیجه

$$\bar{Y}_1 - \bar{X} = (0.2354 \ -0.1476 \ -0.0275)^T.$$

بنابراین مقدار مشاهده شده آماره کنترل  $T^2$  هتلینگ متناظر با اولین نمونه فاز دوم برابر

$$T_1^2 = \frac{10 \times 30}{10 + 30} (0.2354 \ -0.1476 \ -0.0275) \times \begin{bmatrix} 0.6773 & -0.2902 & -0.5298 \\ -0.2902 & 0.7692 & -0.3139 \\ -0.5298 & -0.3139 & 1.2551 \end{bmatrix}^{-1} \begin{bmatrix} 0.2354 \\ -0.1476 \\ -0.0275 \end{bmatrix} = 0.9060$$

است. مقدار آماره کنترل من-ویتنی و  $T^2$  هتلینگ برای هریک از بیست نمونه فاز دوم در جدول ۲ ارائه شده است.

در واقع برای ۱۰ نمونه دوم فاز دوم میانگین متغیر دوم و سوم را به اندازه یک واحد انحراف معیار افزایش دادیم و در متغیر اول تغییری ایجاد نکردیم. در فاز دوم ماتریس‌های  $Y_1, Y_2, \dots, Y_{10}$  حاوی داده‌های تحت کنترل و  $Y_{11}, Y_{12}, \dots, Y_{20}$  حاوی داده‌های خارج از کنترل هستند به طوری که هر یک از  $Y_t$  ها یک ماتریس  $3 \times 30$  هستند. برای روشن شدن جنبه‌های محاسباتی مقدار آماره من-ویتنی را برای  $(X, Y_1)$  با تفصیل توضیح می‌دهیم. که در آن  $X$  ماتریس  $10 \times 3$  داده‌های فاز اول و  $Y_1$  اولین ماتریس  $30 \times 3$  داده‌ها از فاز دوم است. جزئیات چگونگی محاسبه آماره کنترل در جدول ملاحظه می‌شود. در این جدول ستون‌های  $X_{r11}, X_{r21}, X_{r31}$  حاوی ماتریس  $[X^T, Y_1^T]^T$  هستند. به عبارت دیگر ده سطر اول این ستون‌ها حاوی ماتریس  $X$  و سی سطر آخر این ستون‌ها حاوی ماتریس  $Y_1$  است.

بر اساس جدول ۱ داریم:

$$W_{11} = \sum_{r=1}^{10} R_{r11} - \frac{10(40+1)}{2} = -37,$$

$$W_{21} = \sum_{r=1}^{10} R_{r21} - \frac{10(40+1)}{2} = 8,$$

$$W_{31} = \sum_{r=1}^{10} R_{r31} - \frac{10(40+1)}{2} = 2.5.$$

توجه کنید به عنوان مثال  $\sum_{r=1}^{10} R_{r11} = 168$  مربوط به متغیر اول و جمع رتبه‌های ۱۰ نمونه فاز اول است وقتی که با ۳۰ نمونه دوم ادغام و رتبه‌بندی شده است. به طریق مشابه  $\sum_{r=1}^{10} R_{r21} = 213$  و  $\sum_{r=1}^{10} R_{r31} = 207.5$  به ترتیب مربوط به متغیرهای دوم و سوم هستند.

جدول ۱: چگونگی محاسبه آماره من‌وینتی برای نمونه اول از فاز دوم

| $r$    | $X_{r11}$ | $R_{r11}$ | $X_{r21}$ | $R_{r21}$ | $X_{r31}$ | $R_{r31}$ | $R_{r11}^2$ | $R_{r11}R_{r21}$ | $R_{r11}R_{r31}$ | $R_{r21}^2$ | $R_{r21}R_{r31}$ | $R_{r31}^2$ |
|--------|-----------|-----------|-----------|-----------|-----------|-----------|-------------|------------------|------------------|-------------|------------------|-------------|
| 1      | 1.2648    | 24        | 4.0954    | 9         | 10.2774   | 33        | 576         | 216              | 792              | 81          | 297              | 1089        |
| 2      | 0.7877    | 17        | 5.6327    | 30        | 7.6681    | 4         | 289         | 510              | 68               | 900         | 120              | 16          |
| 3      | 2.1403    | 38        | 4.86      | 17        | 8.1273    | 8         | 1444        | 646              | 304              | 289         | 136              | 64          |
| 4      | 0.1505    | 6         | 5.9716    | 34        | 9.4638    | 27        | 36          | 204              | 162              | 1156        | 918              | 729         |
| 5      | 2.0675    | 36        | 3.4371    | 3         | 8.6682    | 14        | 1296        | 108              | 504              | 9           | 42               | 196         |
| 6      | 1.368     | 25        | 6.5136    | 39        | 7.7463    | 5.5       | 625         | 975              | 137.5            | 1521        | 214.5            | 30.25       |
| 7      | 0.2968    | 7         | 5.2177    | 23        | 8.7976    | 16        | 49          | 161              | 112              | 529         | 368              | 256         |
| 8      | 0.5072    | 9         | 4.9073    | 18        | 9.6957    | 30        | 81          | 162              | 270              | 324         | 540              | 900         |
| 9      | 0.0765    | 4         | 5.1039    | 21        | 10.0138   | 32        | 16          | 84               | 128              | 441         | 672              | 1024        |
| 10     | -0.1467   | 2         | 5.0485    | 19        | 10.9706   | 38        | 4           | 38               | 76               | 361         | 722              | 1444        |
| 11     | 2.1785    | 39        | 3.7783    | 5         | 10.3404   | 34        | 1521        | 195              | 1326             | 25          | 170              | 1156        |
| 12     | 1.49      | 27        | 4.3701    | 11        | 8.6668    | 13        | 729         | 297              | 351              | 121         | 143              | 169         |
| 13     | 1.457     | 26        | 6.1682    | 35        | 7.3412    | 2         | 676         | 910              | 52               | 1225        | 70               | 4           |
| 14     | -1.9343   | 1         | 6.4076    | 38        | 9.5981    | 29        | 1           | 38               | 29               | 1444        | 1102             | 841         |
| 15     | 0.9081    | 19        | 5.3449    | 25        | 10.4425   | 36        | 361         | 475              | 684              | 625         | 900              | 1296        |
| 16     | 1.9338    | 34        | 3.0698    | 2         | 10.4177   | 35        | 1156        | 68               | 1190             | 4           | 70               | 1225        |
| 17     | 0.6184    | 12        | 4.7569    | 15        | 10.6158   | 37        | 144         | 180              | 444              | 225         | 555              | 1369        |
| 18     | 1.5543    | 28        | 4.7921    | 16        | 8.5692    | 12        | 784         | 448              | 336              | 256         | 192              | 144         |
| 19     | 0.0762    | 3         | 5.2736    | 24        | 8.6842    | 15        | 9           | 72               | 45               | 576         | 360              | 225         |
| 20     | 0.9272    | 21        | 5.4242    | 28        | 8.2077    | 9         | 441         | 588              | 189              | 784         | 252              | 81          |
| 21     | 2.7491    | 40        | 4.6119    | 13        | 9.0936    | 22        | 1600        | 520              | 880              | 169         | 286              | 484         |
| 22     | 1.8225    | 33        | 6.3024    | 37        | 6.8515    | 1         | 1089        | 1221             | 33               | 1369        | 37               | 1           |
| 23     | 0.6349    | 15        | 4.0429    | 8         | 9.7454    | 31        | 225         | 120              | 465              | 64          | 248              | 961         |
| 24     | 0.619     | 13        | 5.7709    | 31        | 9.3413    | 25        | 169         | 403              | 325              | 961         | 775              | 625         |
| 25     | 0.5905    | 11        | 5.963     | 33        | 8.8173    | 17        | 121         | 363              | 187              | 1089        | 561              | 289         |
| 26     | 1.1216    | 22        | 4.6289    | 14        | 11.1658   | 39        | 484         | 308              | 858              | 196         | 546              | 1521        |
| 27     | 0.6322    | 14        | 5.3627    | 26        | 8.8893    | 18        | 196         | 364              | 252              | 676         | 468              | 324         |
| 28     | 1.5905    | 31        | 5.9088    | 32        | 8.0035    | 7         | 961         | 992              | 217              | 1024        | 224              | 49          |
| 29     | 0.9051    | 18        | 4.584     | 12        | 8.9326    | 19        | 324         | 216              | 342              | 144         | 228              | 361         |
| 30     | 0.9103    | 20        | 6.2827    | 36        | 7.7463    | 5.5       | 400         | 720              | 110              | 1296        | 198              | 30.25       |
| 31     | 0.3403    | 8         | 5.191     | 22        | 9.2319    | 23        | 64          | 176              | 184              | 484         | 506              | 529         |
| 32     | 0.1152    | 5         | 6.7598    | 40        | 8.4262    | 10        | 25          | 200              | 50               | 1600        | 400              | 100         |
| 33     | 1.1323    | 23        | 3.8919    | 6         | 9.5885    | 28        | 529         | 138              | 644              | 36          | 168              | 784         |
| 34     | 1.59      | 30        | 3.6699    | 4         | 9.0361    | 20        | 900         | 120              | 600              | 16          | 80               | 400         |
| 35     | 1.6514    | 32        | 4.0112    | 7         | 8.492     | 11        | 1024        | 224              | 352              | 49          | 77               | 121         |
| 36     | 1.9723    | 35        | 4.3043    | 10        | 9.0553    | 21        | 1225        | 350              | 735              | 100         | 210              | 441         |
| 37     | 1.5686    | 29        | 5.5272    | 29        | 7.3807    | 3         | 841         | 841              | 87               | 841         | 87               | 9           |
| 38     | 0.7588    | 16        | 5.0643    | 20        | 9.4419    | 26        | 256         | 320              | 416              | 400         | 520              | 676         |
| 39     | 2.1098    | 37        | 1.2946    | 1         | 12.0357   | 40        | 1369        | 37               | 1480             | 1           | 40               | 1600        |
| 40     | 0.5774    | 10        | 5.3764    | 27        | 9.3014    | 24        | 100         | 270              | 240              | 729         | 648              | 576         |
| جمع کل |           | 820       |           | 820       |           | 820       | 22140       | 14278            | 15657            | 22140       | 14150.5          | 22140       |

جدول ۲: مقادیر آماره من ویتنی و  $T^2$  هتلینگ برای مثال شبیه سازی

|         |         |         |         |         |         |         |         |         |         |          |
|---------|---------|---------|---------|---------|---------|---------|---------|---------|---------|----------|
| $t$     | 1       | 2       | 3       | 4       | 5       | 6       | 7       | 8       | 9       | 10       |
| $MW_t$  | 1.7880  | 0.8099  | 1.4722  | 0.9353  | 0.9195  | 0.9565  | 1.2673  | 2.3036  | 0.5049  | 0.6745   |
| $T_t^2$ | 0.9060  | 0.6224  | 1.7680  | 1.3118  | 1.0345  | 0.4650  | 1.0670  | 3.1452  | 0.5667  | 0.4223   |
| $t$     | 11      | 12      | 13      | 14      | 15      | 16      | 17      | 18      | 19      | 20       |
| $MW_t$  | 19.3208 | 21.2145 | 24.5187 | 19.2602 | 18.2748 | 22.2888 | 19.0011 | 22.7672 | 18.5613 | 22.9799  |
| $T_t^2$ | 64.8022 | 83.7042 | 63.6599 | 81.1390 | 71.0550 | 77.7763 | 64.7485 | 86.5037 | 88.1414 | 108.4988 |

## ۶ مطالعه شبیه سازی نمودار کنترل $T^2$ هتلینگ و من ویتنی در شکل ۱ مقایسه شده اند.

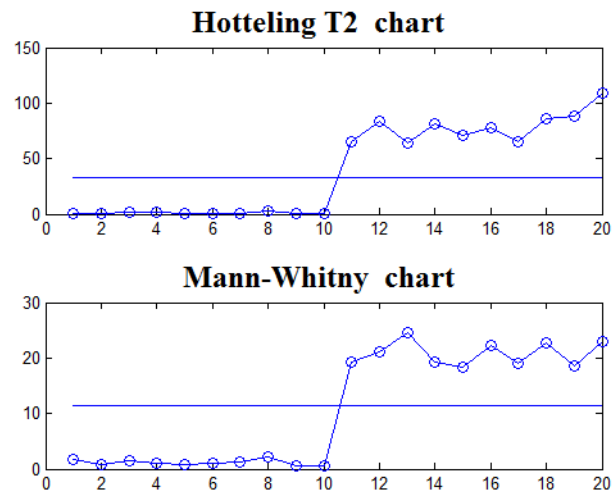
در این بخش با استفاده از نرم افزار *MATLAB* داده هایی از توزیع نرمال و  $t$  چندمتغیره با ۵ درجه آزادی تولید کرده و به مقایسه عملکرد نمودار  $T^2$  هتلینگ و من ویتنی در ۱۰۰۰۰ بار تکرار با فرض  $\alpha = 0.01$  می پردازیم. بنابراین حدود کنترل بالا برای هر یک از نمودارها به صورت رابطه ۸ و ۹ است.

### الف) توزیع نرمال چندمتغیره.

در این قسمت یک مطالعه شبیه سازی با شرایطی همانند مثال بخش قبل، ارائه کرده ایم. به طور کلی با شبیه سازی که با ۱۰۰۰۰ بار تکرار صورت گرفته است هنگامی که توزیع نرمال چندمتغیره باشد نمودار  $T^2$  هتلینگ و من ویتنی، از بین ۱۰ نمونه خارج از کنترل، به ترتیب به طور متوسط ۹/۳۹۸۱ و ۹/۹۲۴۸ نمونه خارج از کنترل را به درستی تشخیص داده اند و احتمال خطای نوع اول تجربی (مبتنی بر شبیه سازی فوق) برای نمودارهای  $T^2$  هتلینگ و من ویتنی به ترتیب ۰/۰۰۹۴۱ و ۰/۰۰۵۶۹ به دست آمده است. این در حالی است که احتمال خطای نوع اول اسمی در هر دو نمودار  $\alpha = 0.01$  می باشد. مقصود از احتمال خطای نوع اول تجربی نسبت هشدارهای نادرستی است که در ۱۰۰۰۰ بار تکرار مشاهده شده است. در مورد نمودار من ویتنی احتمال خطای نوع اول تجربی با مقدار اسمی 0.01 تفاوت زیاد دارد که دلیل آن تقریبی بودن توزیع خنثی دو برای آماره من ویتنی است.

### ب) توزیع $t$ چندمتغیره با ۵ درجه آزادی.

در مطالعه شبیه سازی دیگری، یک نمونه به اندازه ۱۰ از فاز اول در شرایط کنترل و ۱۰+۱۰ نمونه هر یک به اندازه ۳۰ در فاز دوم از توزیع  $t$  چندمتغیره با ۵ درجه آزادی تولید

شکل ۱: نمودار کنترل  $T^2$  هتلینگ و من ویتنی

برای مثال شبیه سازی

فرض کنید  $\alpha = 0.01$  است. حد کنترل برای نمودار  $T^2$  هتلینگ

برابر

$$UCLT^2 = \frac{(n_1 - 1)p}{n_1 - p} F_{\alpha, p, n_1 - p} = 32.5978, \quad (8)$$

است و حد کنترل برای نمودار من ویتنی برابر

$$UCLMW = \chi_{\alpha, p}^2 = 11.3449, \quad (9)$$

است. شکل ۱ نمودار بالایی نمودار کنترل  $T^2$  هتلینگ و نمودار پایینی نمودار من ویتنی است. با توجه به این که ده نمونه اول تحت کنترل و ۱۰ نمونه دوم خارج از کنترل هستند، ملاحظه می کنیم که در این مثال در هر دو نمودار  $T^2$  هتلینگ و من ویتنی خطای نوع اول و دوم وجود ندارد. به عبارت دیگر هر ۱۰ نمونه که در شرایط کنترل تولید شده اند توسط نمودارها تحت کنترل نشان داده شده اند و هر ۱۰ نمونه که در شرایط خارج کنترل تولید شده اند توسط نمودارها خارج کنترل رسم شده اند. در بخش بعدی نتیجه ۱۰۰۰۰ تکرار از این مثال ارائه شده است.

نتایج در ۱۰۰۰۰ بار تکرار نشان می‌دهد زمانی که توزیع  $t$  چندمتغیره با ۵ درجه آزادی باشد نمودارهای  $T^2$  هتلینگ و من‌ویتنی، از بین ۱۰ نمونه خارج از کنترل، به ترتیب به طور متوسط  $۷/۹۴۵۳$  و  $۹/۳۶۶۵$  نمونه خارج از کنترل را به درستی تشخیص داده‌اند. احتمال خطای نوع اول تجربی برای نمودار  $T^2$  هتلینگ و من‌ویتنی به ترتیب  $۰/۰۱۰۷۳$  و  $۰/۰۰۵۶۵$  است.

### پ) اندازه نمونه بزرگ.

در مطالعات شبیه‌سازی فوق اندازه نمونه کوچک بوده است. بنابراین تقریب خوبی دو بودن آماره من‌ویتنی قابل اعتماد نیست. غیرقابل اعتماد بودن تقریب خوبی دو از طریق مقایسه مقدار تجربی خطای نوع اول با مقدار اسمی آن نیز واضح است. در این بخش مطالعه شبیه‌سازی دیگری انجام داده‌ایم که مشابه مطالعه شبیه‌سازی قسمت (ب) است، تنها تفاوت در اندازه نمونه است. در اینجا اندازه نمونه را ۱۰۰ در نظر گرفته‌ایم. ۱۰۰۰۰ بار تکرار حاکی از آن است که مقدار تجربی خطای نوع اول برای آماره من‌ویتنی در این حالت برابر  $۰/۰۰۹$  است که به مقدار اسمی  $۰/۰۱$  نزدیک است. مقادیر  $ARL_1$  هر دو نمودار یکسان و برابر یک به دست آمده که نشان می‌دهد که تقریباً عملکرد هر دو نمودار یکسان است. در صورت معلوم نبودن توزیع می‌توان از نمودار من‌ویتنی استفاده کرد.

## ۷ بحث و نتیجه‌گیری

از طریق شبیه‌سازی صورت گرفته نتیجه می‌شود، موقعیت‌هایی وجود دارند که احتمالاً عملکرد نمودار کنترل من‌ویتنی بهتر از  $T^2$  هتلینگ است حتی زمانی که توزیع نرمال است. زمانی که توزیع غیر نرمال است این عملکرد بهتر، آشکارتر می‌شود. از جمله مزیت‌های نمودار من‌ویتنی نسبت به نمودار سنتی  $T^2$  هتلینگ این است که به فرض توزیعی نیاز ندارد. از جمله معایب نمودار کنترل چندمتغیره من‌ویتنی عدم امکان اجرای آن برای مشاهدات تکی و نیاز به اندازه نمونه بزرگ است.

کردیم که ۱۰ نمونه اول فاز دوم در شرایط تحت کنترل با پارامترهای زیر تولید شده‌اند

$$\mu = \begin{bmatrix} 1 \\ 5 \\ 9 \end{bmatrix}, \Sigma_{t_5} = \begin{bmatrix} 0.6 & -0.24 & -0.24 \\ -0.24 & 0.6 & -0.24 \\ -0.24 & -0.24 & 0.6 \end{bmatrix},$$

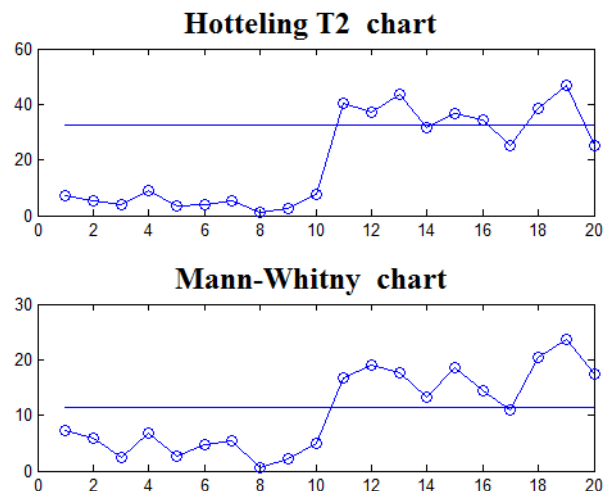
در حالی که ولی ۱۰ نمونه دوم فاز دوم در شرایط خارج از کنترل و با پارامترهای زیر تولید گشته‌اند.

$$\mu = \begin{bmatrix} 1 \\ 6 \\ 10 \end{bmatrix}, \Sigma_{t_5} = \begin{bmatrix} 0.6 & -0.24 & -0.24 \\ -0.24 & 0.6 & -0.24 \\ -0.24 & -0.24 & 0.6 \end{bmatrix},$$

که در آن  $\Sigma_{t_5}$  ماتریس مقیاس می‌باشد. بنابراین ماتریس کوواریانس به صورت زیر است

$$\Sigma = \frac{d}{d-2} \Sigma_{t_5} = \frac{5}{3} \begin{bmatrix} 0.6 & -0.24 & -0.24 \\ -0.24 & 0.6 & -0.24 \\ -0.24 & -0.24 & 0.6 \end{bmatrix} = \begin{bmatrix} 1 & -0.4 & -0.4 \\ -0.4 & 1 & -0.4 \\ -0.4 & -0.4 & 1 \end{bmatrix}$$

نتایج به صورت شکل ۲ حاصل شده است.



شکل ۲: نمودار کنترل  $T^2$  هتلینگ و من‌ویتنی برای توزیع  $t$  با ۵ درجه آزادی

## مراجع

- [۱] بهبودیان، ج. (۱۳۸۳). آمار ناپارامتری. انتشارات دانشگاه شیراز.
- [2] Boon, J. M. and Chakraborti, S. (2012). Two simple Shewhart-type multivariate nonparametric control charts. *Applied stochastic models in Business and Industry*; **16**(4), 613-623.
- [3] Chakraborti S, Graham MA. (2008). Nonparametric control chart. *Encyclopedia of Quality and Reliability*. Wiley: New York, 415-429.
- [4] Chakraborti, S., Van Der Laan, P. and Bakir, S. T. (2001). Nonparametric control charts: an overview and some results. *Journal of Quality Technology*; **33**(3), 304-315.
- [5] Hettmansperger, T. P. (2006). Multivariate location tests. *Encyclopedia of Statistical Sciences*. Wiley.
- [6] Montgomery, D. C. (2001). *Introduction to statistical quality control*, 4th edition. Wiley, New York.